

# Detecção de Marcadores para Estimativa de Posição Relativa

Rodrigo Passos Sousa

# Sumário

- Introdução
- Objetivo
- Fluxograma do Projeto
- Redimensionamento da Imagem
  - Pirâmide de Imagens
- Segmentação da Imagem
  - Algoritmo de Suzuki e Abe
  - Algoritmo de Douglas Peucker
- Transformação Geométrica
- Comparação com o Dicionário
- Refinamento da Estimativa dos Cantos
- Estimação da Pose
- Conclusões

# Introdução :: Motivação

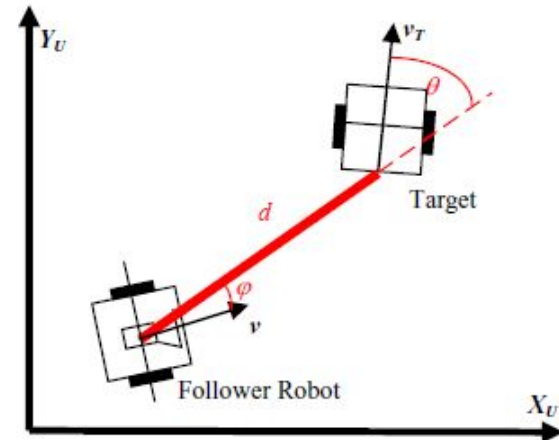
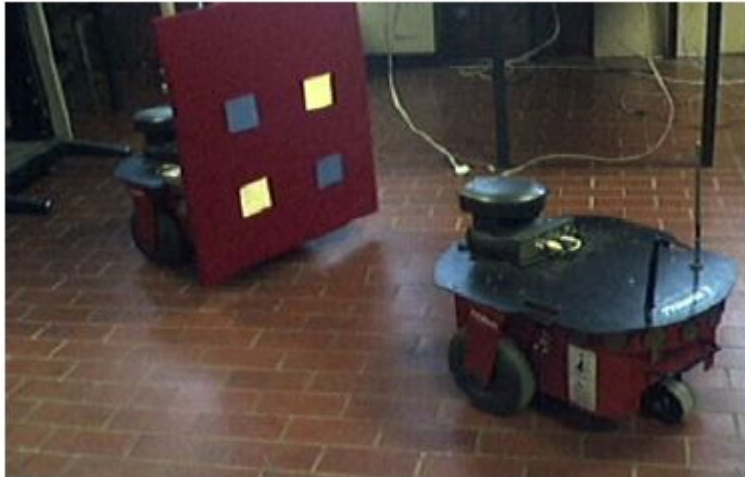
## Vision-Based Tracking Control for Mobile Robots\*

Ricardo Carelli, Carlos M. Soria and Beatriz Morales

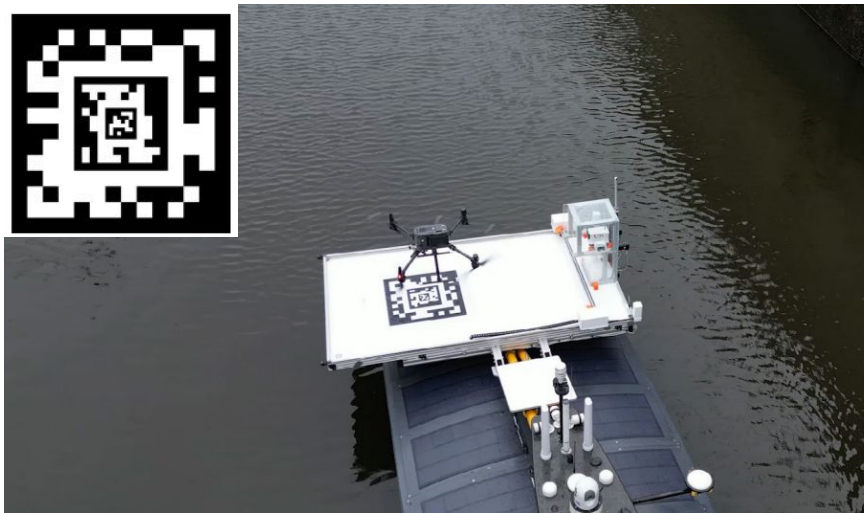
*Instituto de Automática, Universidad Nacional de San Juan*

*Av. San Martín Oeste, 5400 San Juan, Argentina*

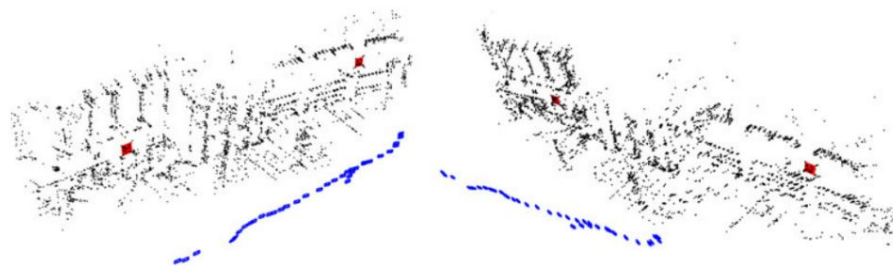
*{rcarelli, csoria, bmorales}@inaut.unsj.edu.ar*



# Introdução :: Marcadores

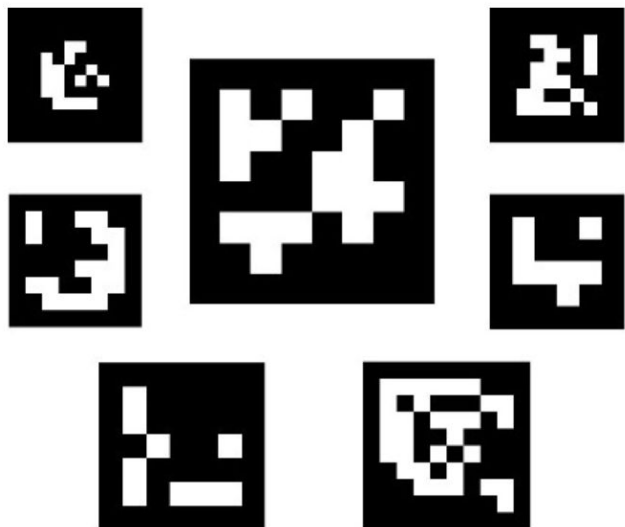


Navegação Robótica

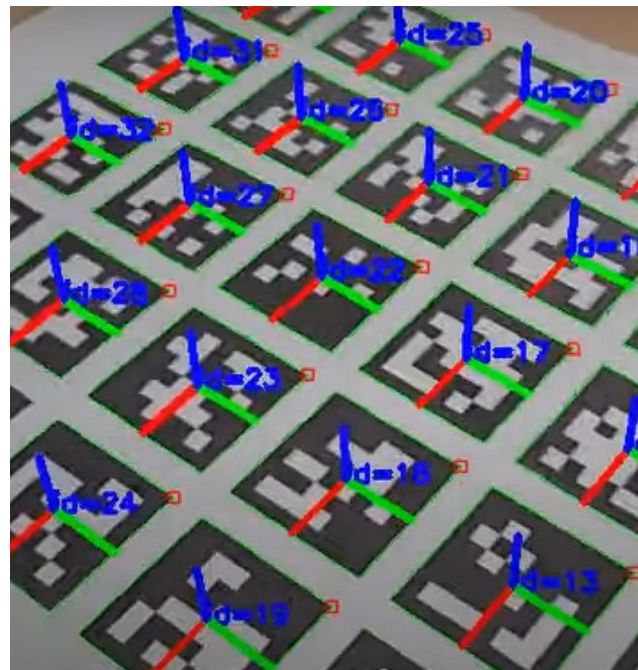


Localização e Mapeamento  
Simultâneos

# Introdução :: Biblioteca Aruco



Dicionário de Marcadores



Identificação e Estimação  
da Pose

# Objetivo

- O objetivo desse projeto é implementar a solução apresentada pela biblioteca ArUco para **identificação de marcadores**, e com isso obter a **posição relativa de um objeto** com relação ao sistema de coordenadas da câmera. Para tal foi usando como base, o seguinte artigo:



## Speeded up detection of squared fiducial markers☆☆

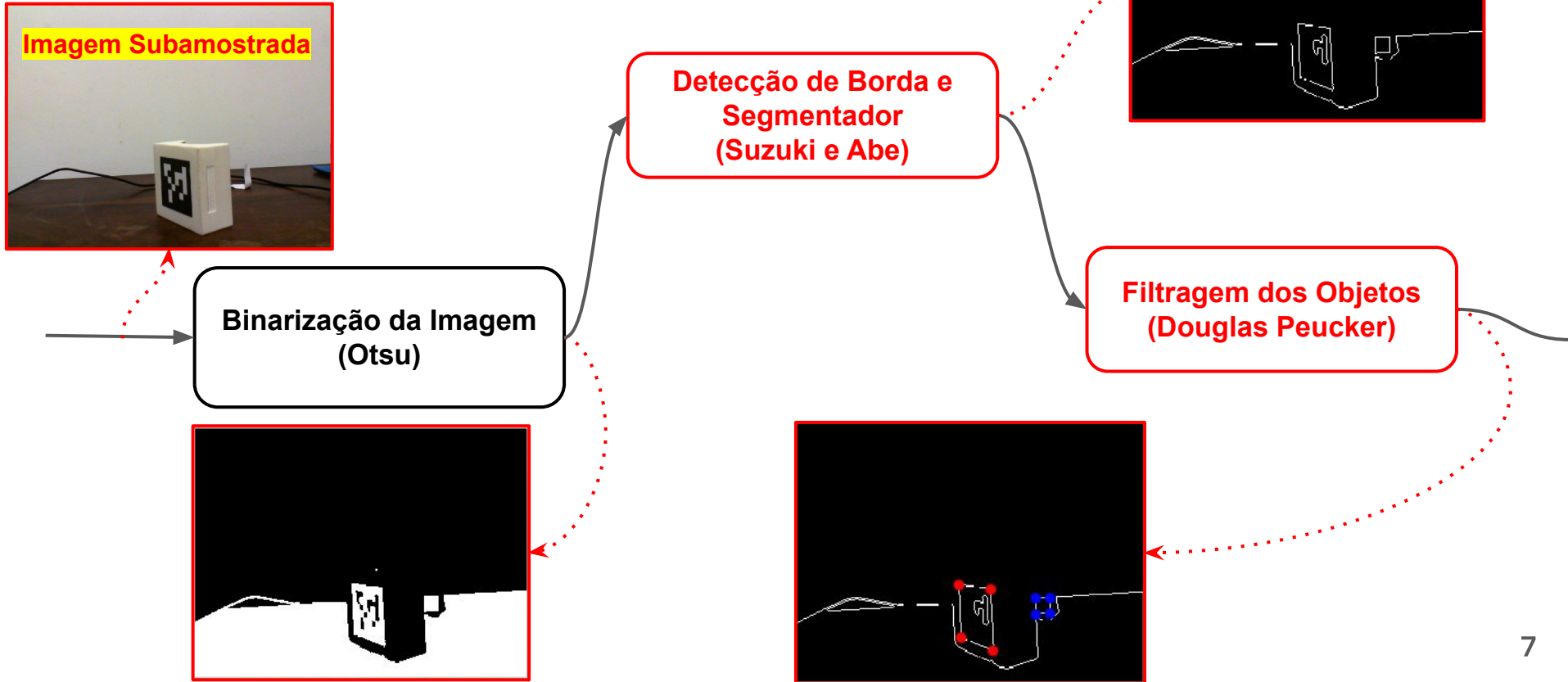
Francisco J. Romero-Ramirez<sup>a</sup>, Rafael Muñoz-Salinas<sup>a, b, \*</sup>, Rafael Medina-Carnicer<sup>a, b</sup>

<sup>a</sup>Departamento de Informática y Análisis Numérico, Edificio Einstein, Campus de Rabanales, Universidad de Córdoba, 14071 Córdoba, Spain

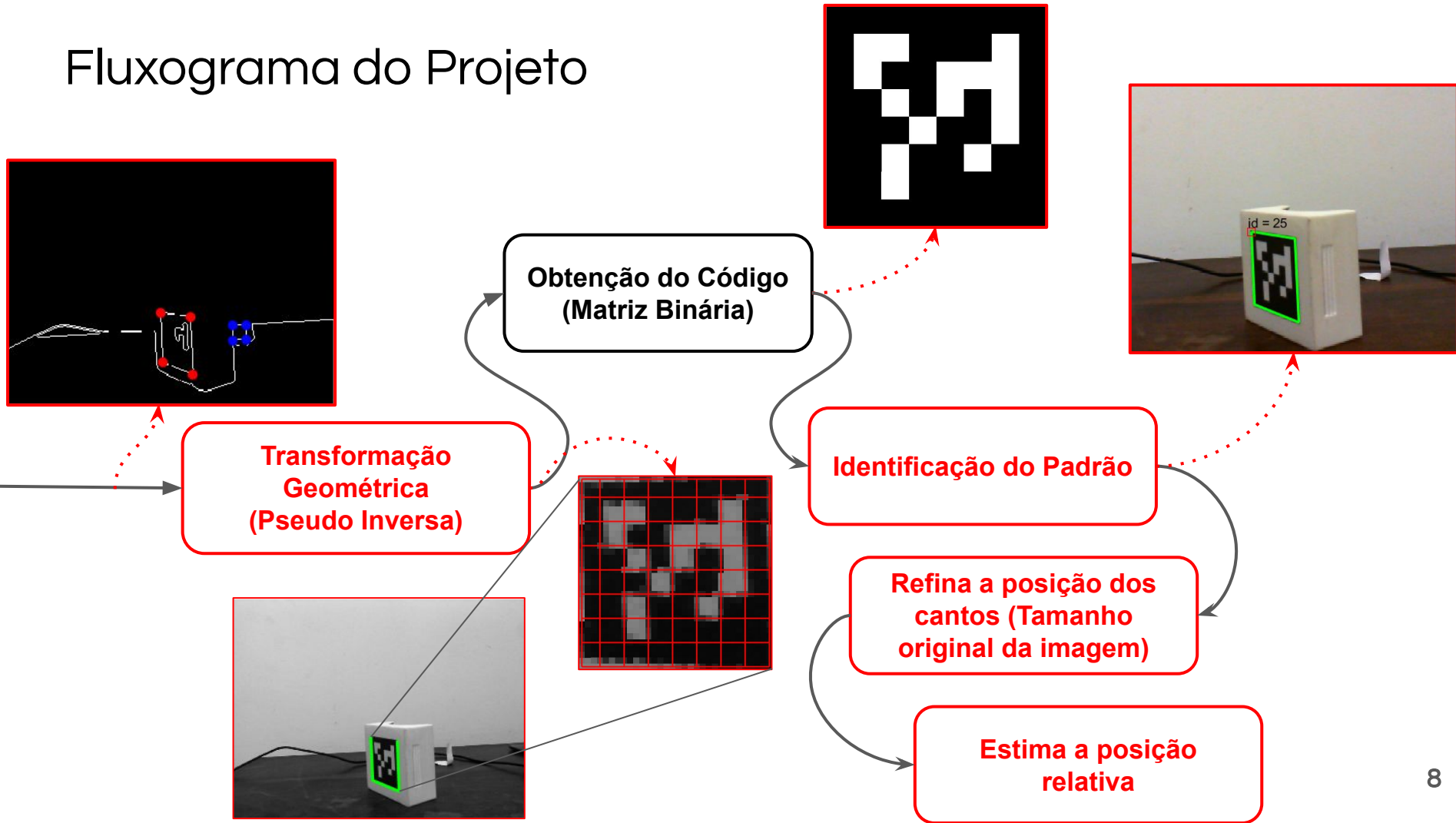
<sup>b</sup>Instituto Maimónides de Investigación en Biomedicina (IMIBIC), Avenida Menéndez Pidal s/n, 14004 Córdoba, Spain



# Fluxograma do Projeto



# Fluxograma do Projeto





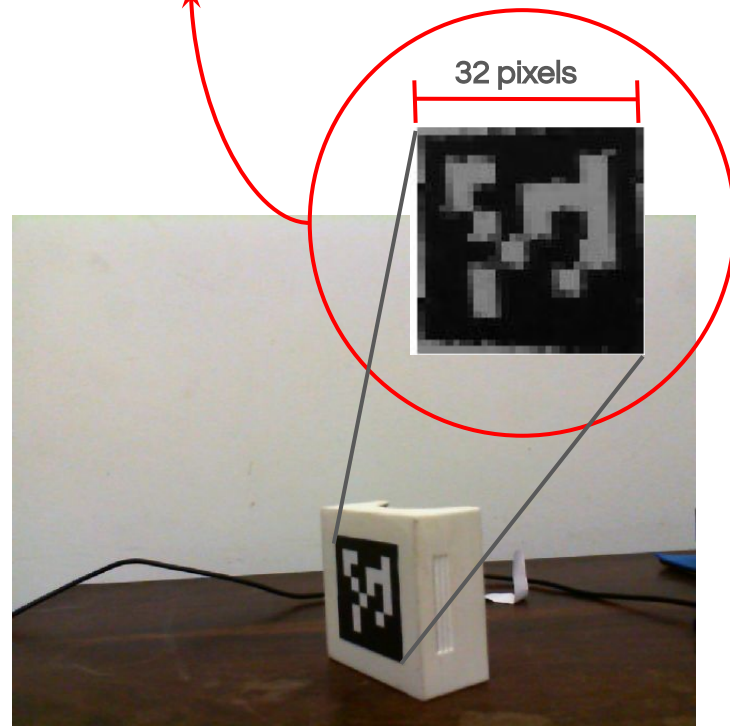
# Redimensionamento da Imagem

Imagem Canônica

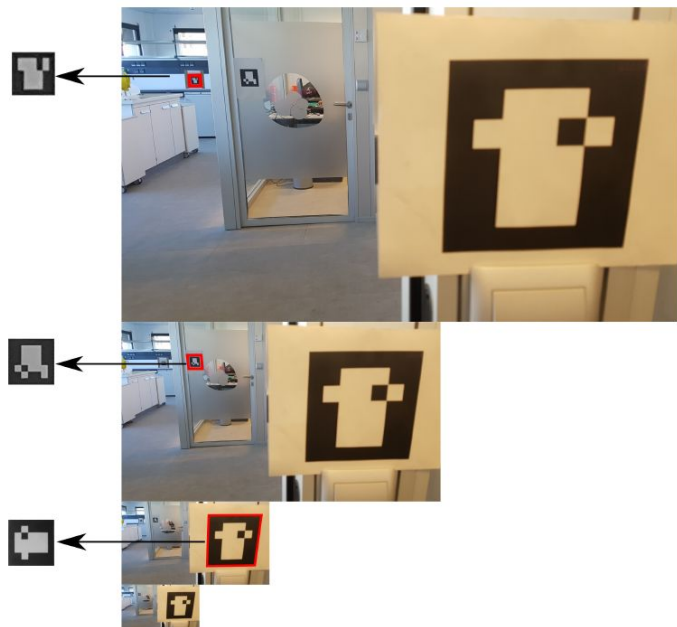
- Reduzir a quantidade de cálculos, reduzindo a quantidade de pixels

$$\text{Porcentagem de Redução} = \frac{32}{\text{Menor Lado}}$$

- Menor Lado = 100;



# Redimensionamento da Imagem :: Pirâmide de Imagens

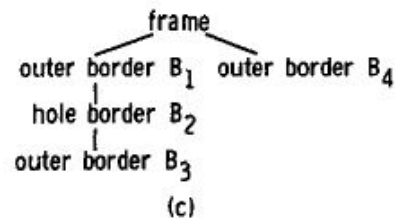
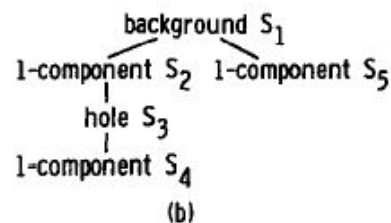
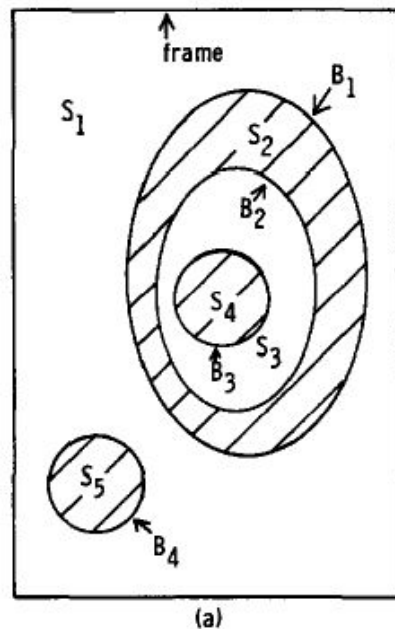


- Sequência de N imagens redimensionadas com tamanhos diferentes.
- A quantidade N de imagens é tal que a menor imagem, tenha dimensões maiores que 32x32 pixels, em que as dimensões da imagem são sequencialmente divididas por 2.

Fonte: Romero-Rodríguez *et. al*

# Segmentação da Imagem

- Seguidor de Borda de Suzuki e Abe (1985)

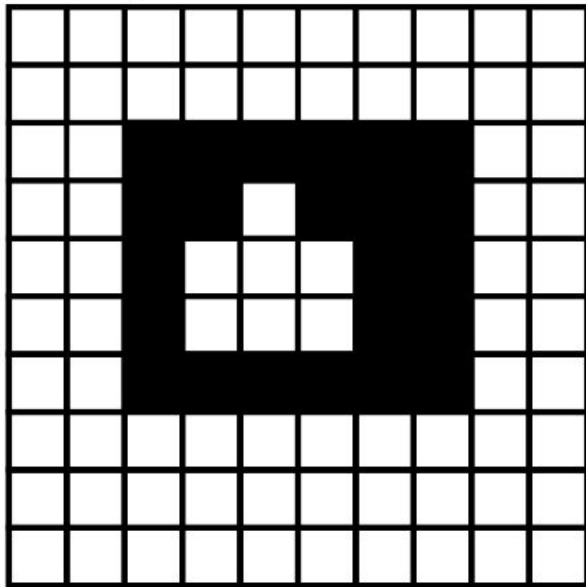


# Algoritmo de Suzuki e Abe

(0) Inicialização

-  $NBD \leftarrow 0$

(1) Inicia a Varredura da Imagem



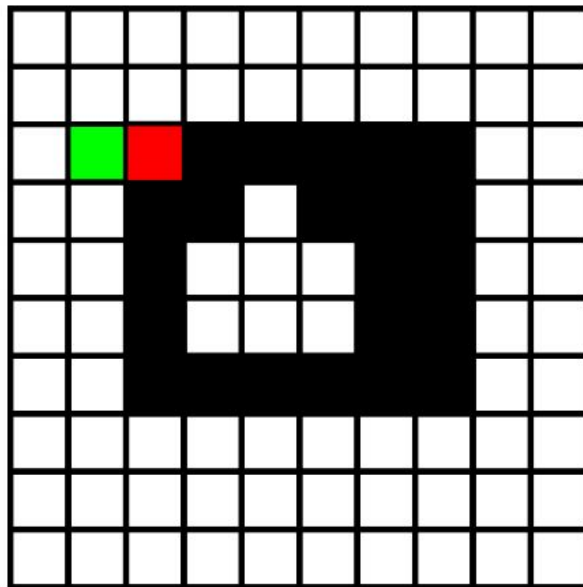
(2) Se  $f_{ij}=1$  e  $f_{i,j-1}=0$ ,

- o pixel  $(i,j)$  é o Ponto Inicial

-  $NBD \leftarrow NBD + 1$

-  $(i_2, j_2) \leftarrow (i, j-1)$

Caso contrário, vai direto para o (4)



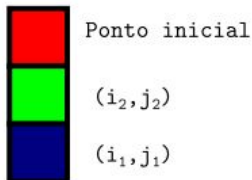
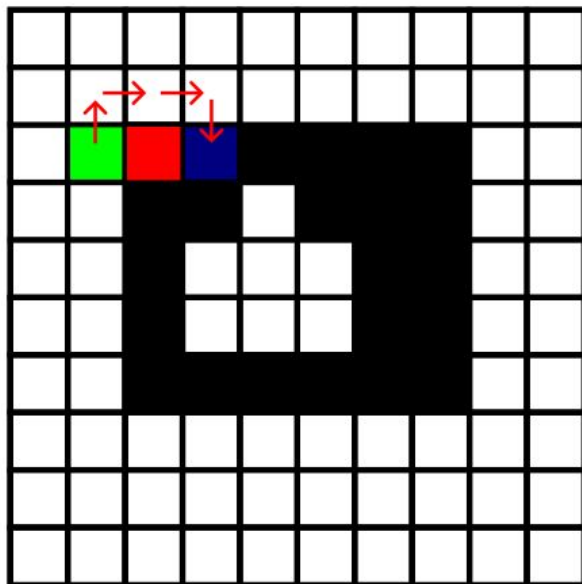
Ponto inicial

$(i_2, j_2)$

# Algoritmo de Suzuki e Abe

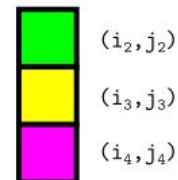
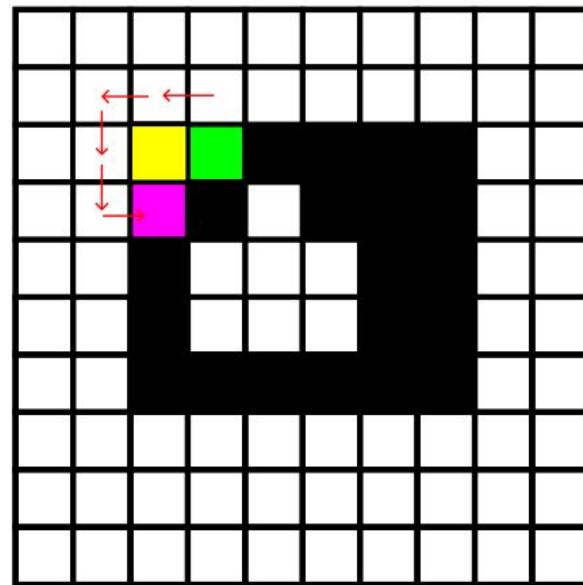
(3) Começando em  $(i,j)$ , siga a borda:

(3.1) Começando de  $(i_2, j_2)$  visite os vizinhos de  $(i,j)$ , no sentido horário. O primeiro pixel não nulo será denotado por  $(i_1, j_1)$ . Se não houver,  $f_{ij} \leftarrow \text{-NBD}$ , e vai para (4)



(3.2)  $(i_2, j_2) \leftarrow (i_1, j_1)$  e  $(i_3, j_3) \leftarrow (i, j)$

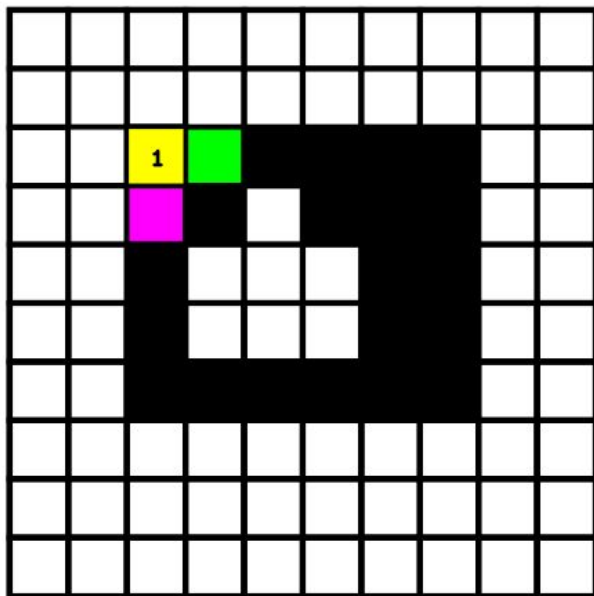
(3.3) Começando pelo próximo a  $(i_2, j_2)$ , no sentido anti-horário, vizitar os vizinhos de  $(i_3, j_3)$ , até encontrar um pixel não nulo  $(i_4, j_4)$ .



# Algoritmo de Suzuki e Abe

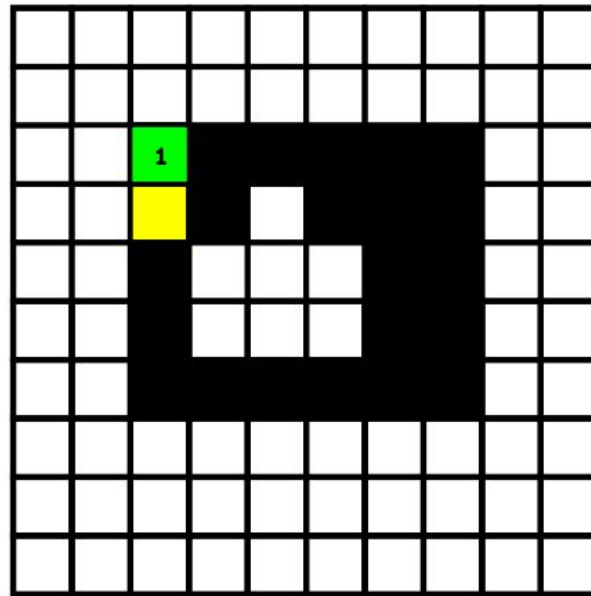
(3.4) Mude o valor  $f_{i_3,j_3}$  do pixel  $(i_3,j_3)$ :

- (a) Se o pixel  $(i_3,j_3+1)$  é nulo,  $f_{i_3,j_3} \leftarrow \text{NBD}$
- (b) Se o pixel  $(i_3,j_3+1)$  é não nulo,  $f_{i_3,j_3} \leftarrow \text{NBD}$
- (c) Caso contrário, não mude  $f_{i_3,j_3}$ .

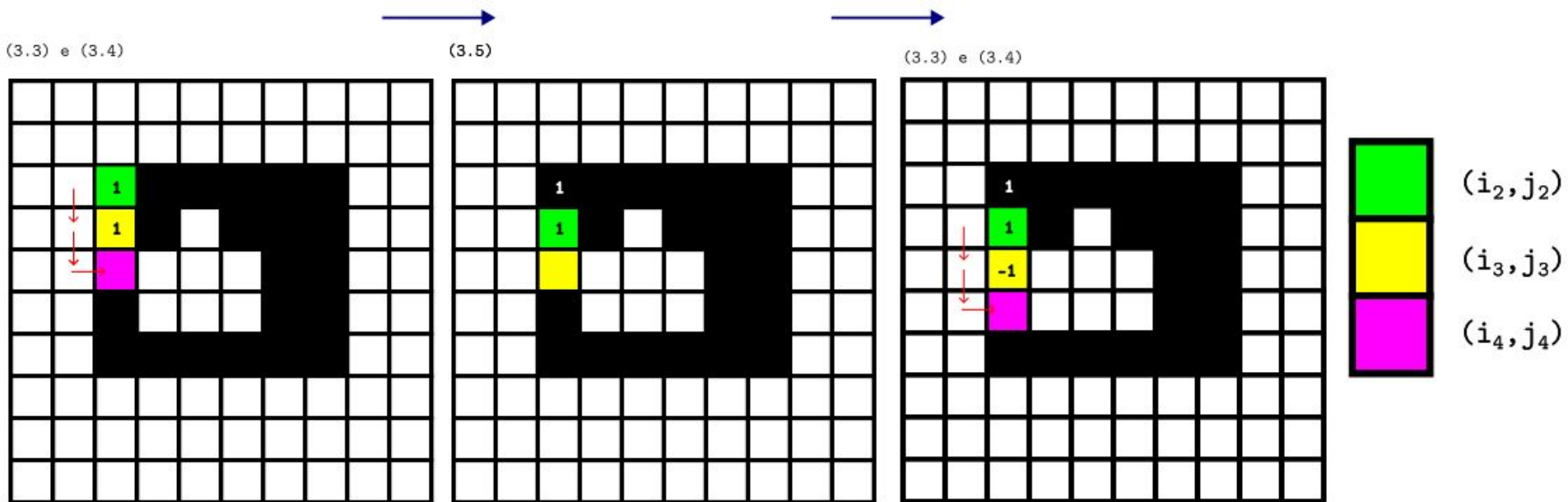


(3.5) Se  $(i_4,j_4) = (i,j)$  e  $(i_3,j_3) = (i_1,j_1)$  (Completo o Objeto), vá para o item (4).

Caso contrário,  $(i_2,j_2) \leftarrow (i_3,j_3)$  e  $(i_3,j_3) \leftarrow (i_4,j_4)$  e vai para o item (3.3).



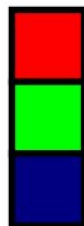
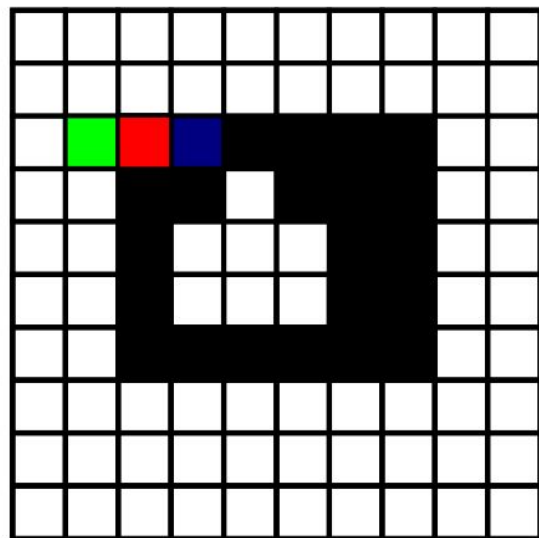
# Algoritmo de Suzuki e Abe



# Algoritmo de Suzuki e Abe

(3.5) Se  $(i_4, j_4) = (i, j)$  e  $(i_3, j_3) = (i_1, j_1)$  (Completo o Objeto), vá para o item (4).

Caso contrário,  $(i_2, j_2) \leftarrow (i_3, j_3)$  e  $(i_3, j_3) \leftarrow (i_4, j_4)$  e vai para o item (3.3).

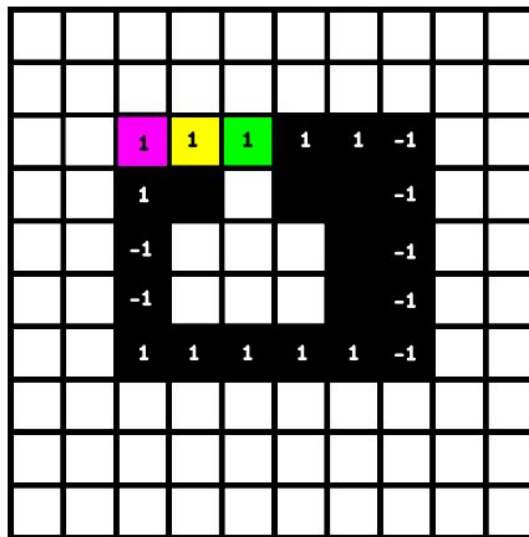


$(i, j)$

$(i_2, j_2)$

$(i_1, j_1)$

(3.3), (3.4) e (3.5)



$(i_2, j_2)$

$(i_3, j_3)$

$(i_4, j_4)$



# Algoritmo de Suzuki e Abe

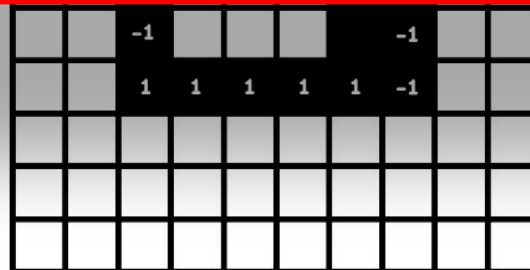
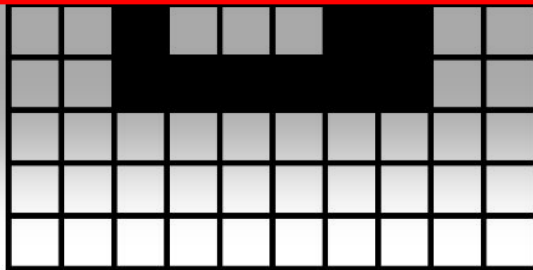
(3.5) Se  $(i_4, j_4) = (i, j)$  e  $(i_3, j_3) = (i_1, j_1)$  (Completo o Objeto), vá para o item (4).

Caso contrário,  $(i_2, j_2) \leftarrow (i_3, j_3)$  e  $(i_3, j_3) \leftarrow (i_4, j_4)$  e vai para o item (3.3).

(3.3), (3.4) e (3.5)

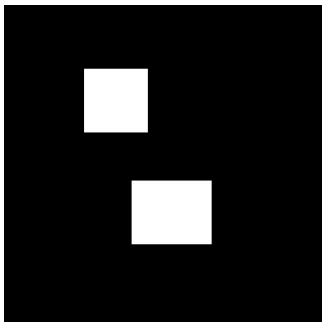
(4) Se o apontador estiver no canto inferior direito da figura, acabou.

Caso contrário, volte para o item (1).



# Algoritmo de Suzuki e Abe

Entrada 20x20 pixels:



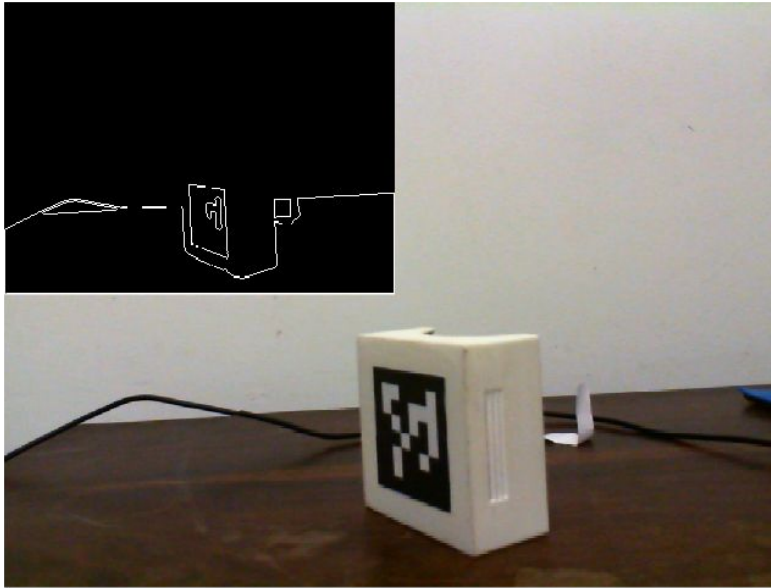
Resultado:

ImSeg =

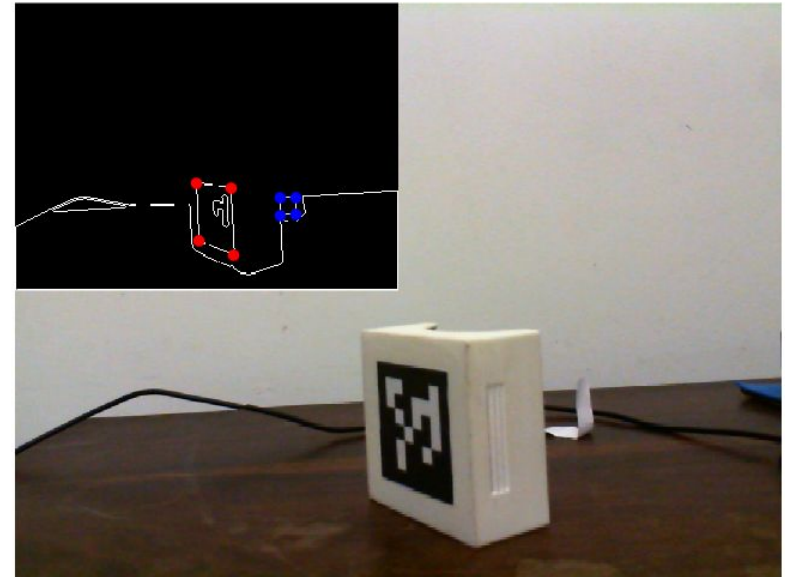
[illegible]

# Filtragem dos Objetos :: Algoritmo de Douglas Peucker

Resultado da segmentação:

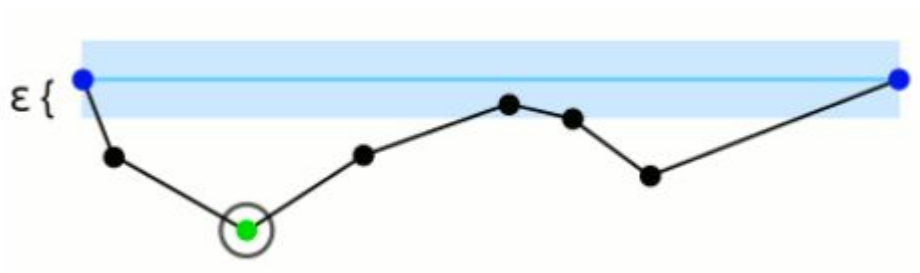


Resultado da Filtragem:



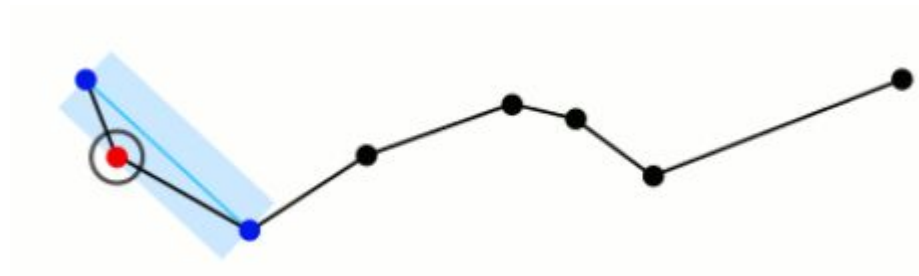
# Filtragem dos Objetos :: Algoritmo de Douglas Peucker

- Usado para simplificação de curvas
- Algoritmo recursivo com apenas 1 (um) parâmetro:  $\epsilon$



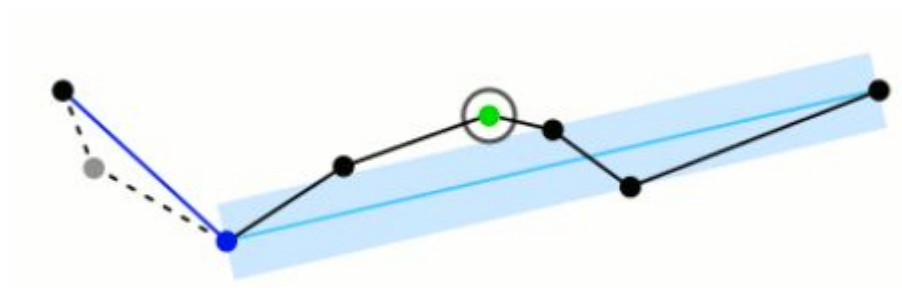
# Filtragem dos Objetos :: Algoritmo de Douglas Peucker

- Usado para simplificação de curvas
- Algoritmo recursivo com apenas 1 (um) parâmetro:  $\epsilon$



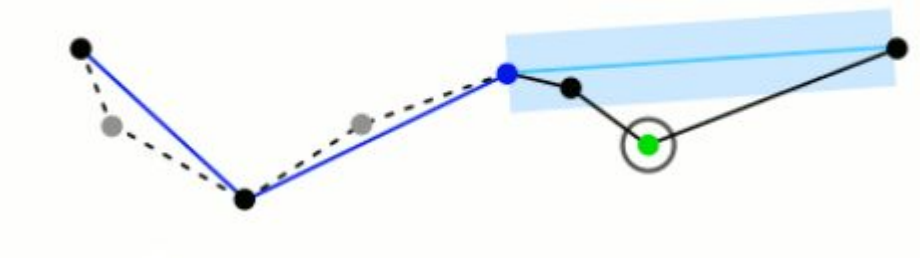
# Filtragem dos Objetos :: Algoritmo de Douglas Peucker

- Usado para simplificação de curvas
- Algoritmo recursivo com apenas 1 (um) parâmetro:  $\epsilon$



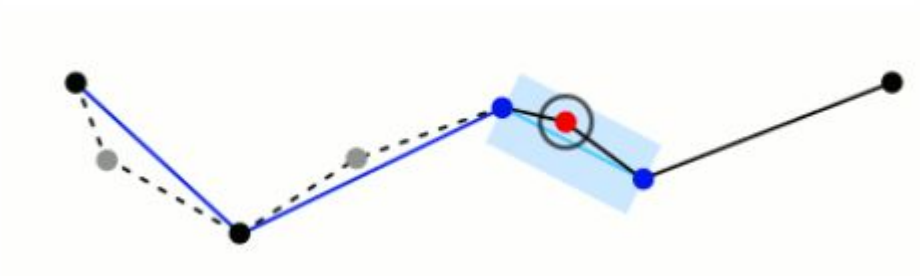
# Filtragem dos Objetos :: Algoritmo de Douglas Peucker

- Usado para simplificação de curvas
- Algoritmo recursivo com apenas 1 (um) parâmetro:  $\epsilon$



# Filtragem dos Objetos :: Algoritmo de Douglas Peucker

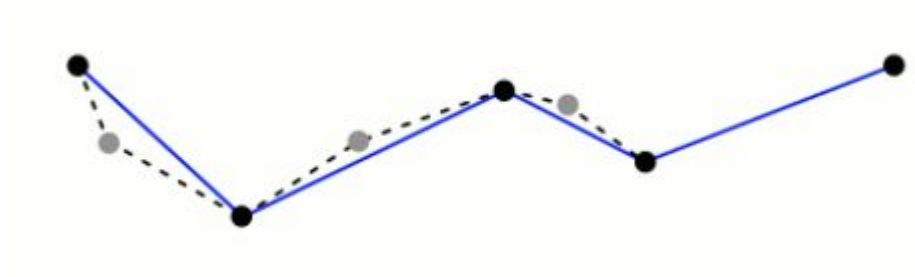
- Usado para simplificação de curvas
- Algoritmo recursivo com apenas 1 (um) parâmetro:  $\epsilon$





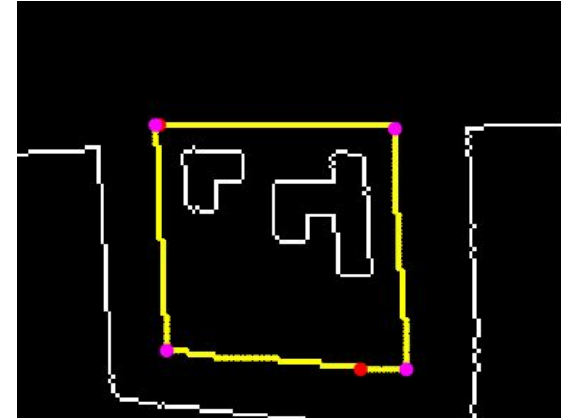
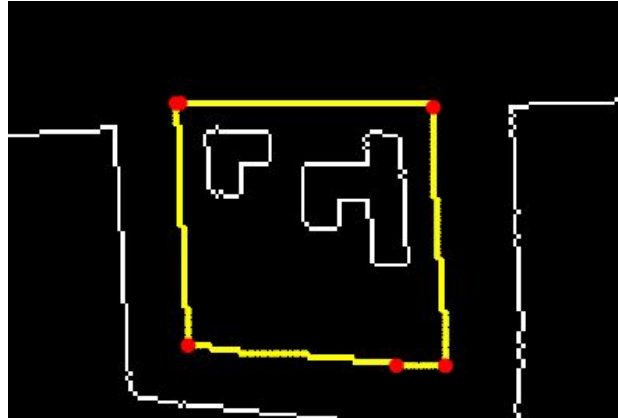
# Filtragem dos Objetos :: Algoritmo de Douglas Peucker

- Usado para simplificação de curvas
- Algoritmo recursivo com apenas 1 (um) parâmetro:  $\epsilon$

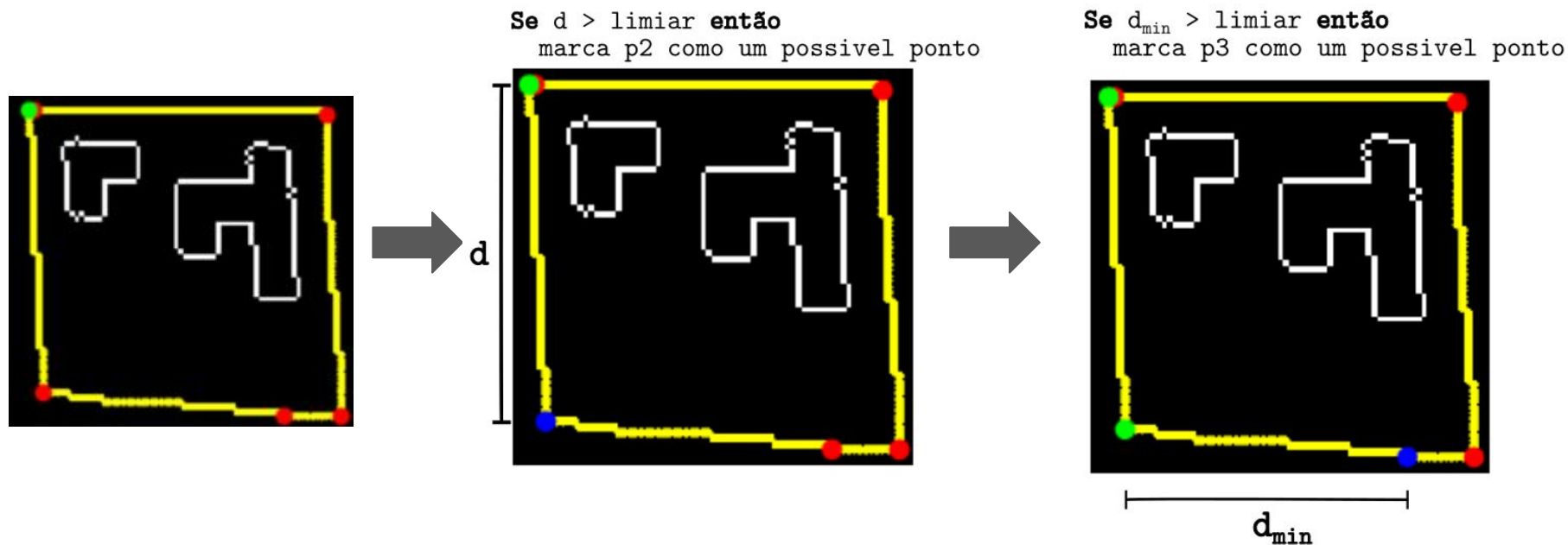


# Filtragem dos Objetos :: Algoritmo de Douglas Peucker

- Pós processamento:

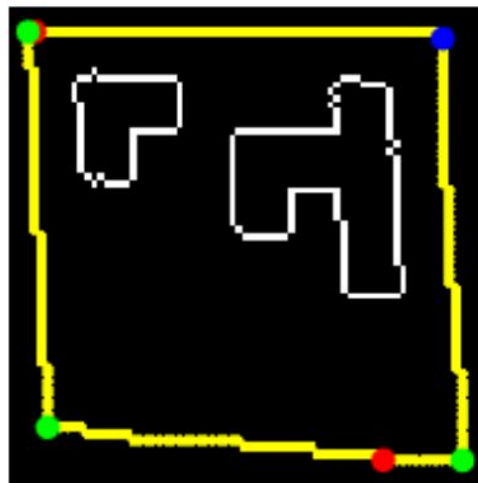
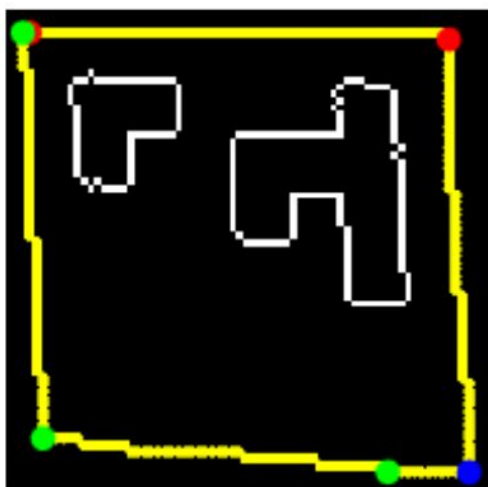


# Filtragem dos Objetos :: Algoritmo de Pós-Processamento



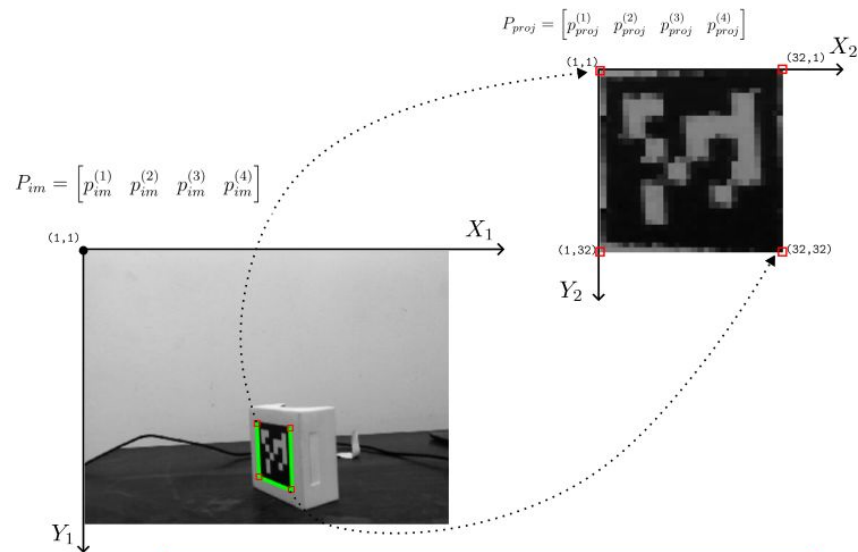
# Filtragem dos Objetos :: Algoritmo de Pós-Processamento

Se  $d_{\min} < \text{limiar}$  então  
Se  $d_2 > d_1$  então  
    marca p4 no lugar de p3

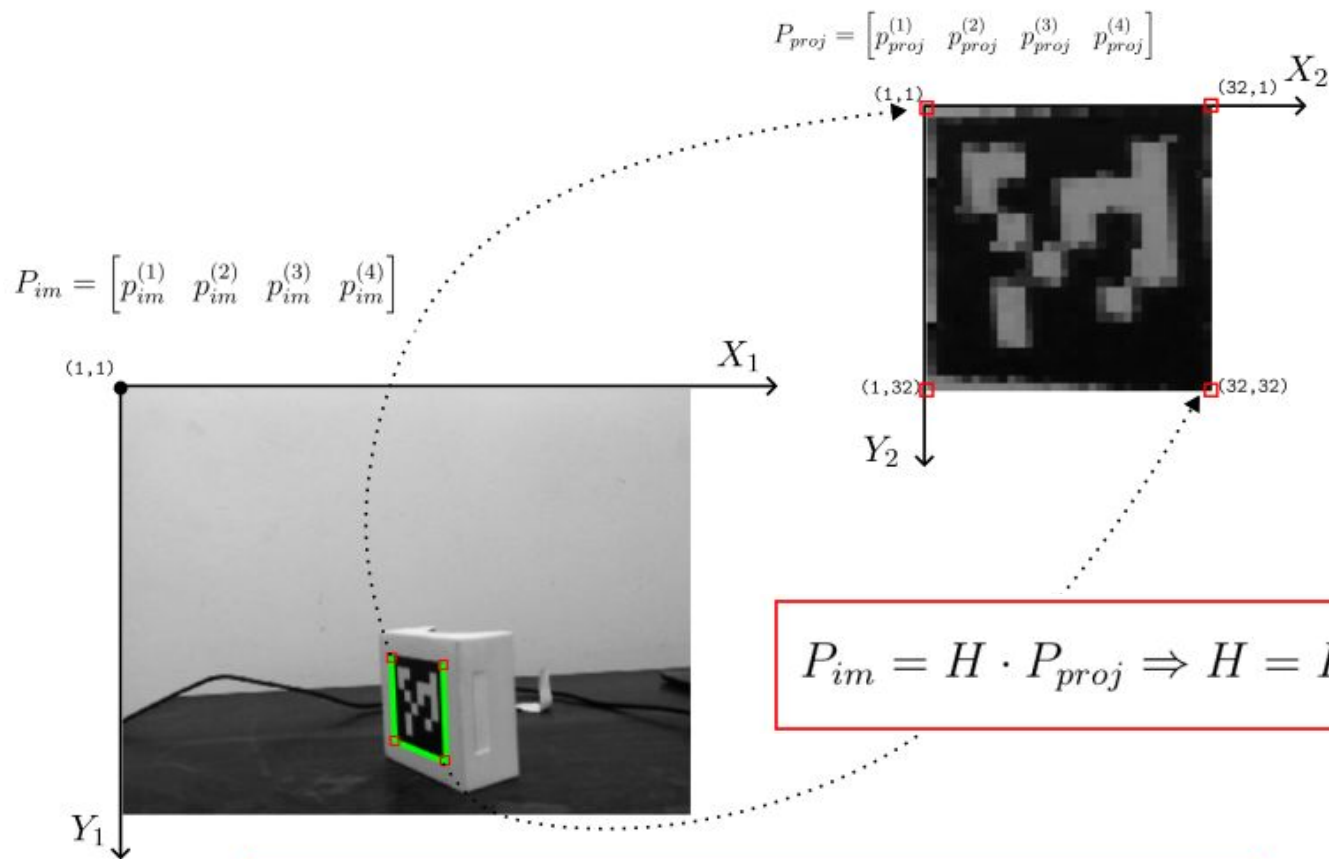


# Transformação Geométrica

- A transformação é obtida a partir da **imagem redimensionada**, da pirâmide de imagens, em cujo o perímetro do marcador é mais próximo de 4x32 pixels.



# Transformação Geométrica



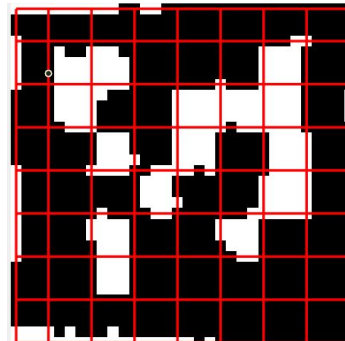
## Obtenção do código



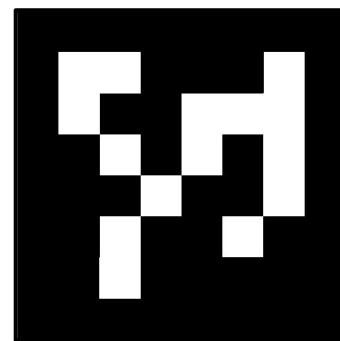
32x32



32x32



32x32



8x8

# Comparação com o dicionário

- Distância de Edição
- A comparação considerando 4 orientações diferentes.
- Um limiar de distância é usado para classificar o marcador.
- $\text{limiar}=4$ .

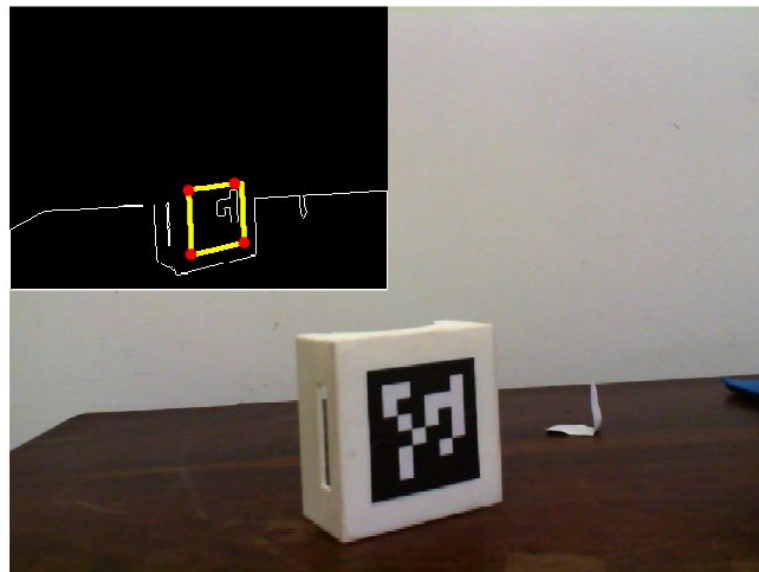


Algumas Imagens presentes no dicionário usado



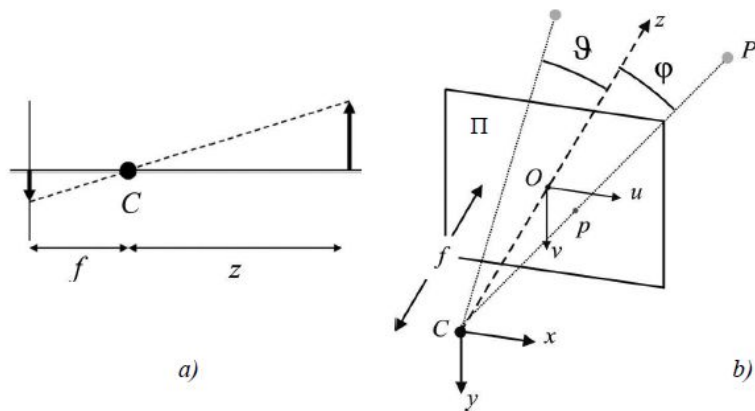
# Refinamento da Estimativa dos Cantos

- Itera sobre a pirâmide de imagem, e obtém novas estimativas para os cantos do marcador.
- Detector de Harris numa janela de pixels em torno de cada canto.



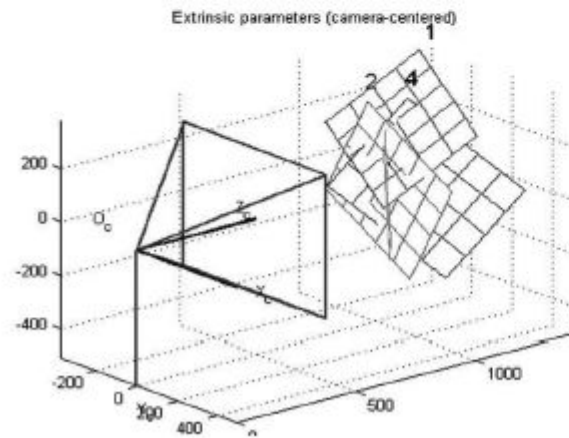
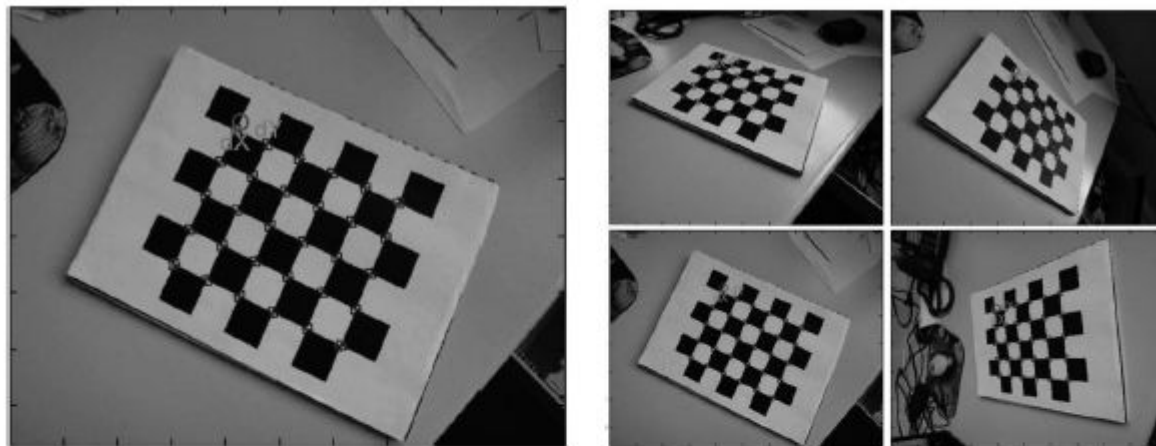
# Estimação da Pose

- Modelo *pinhole*

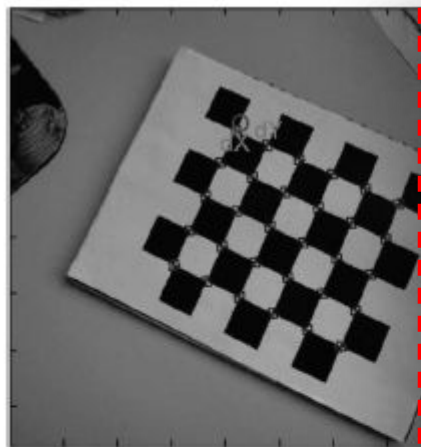


$$\frac{f}{z} = \frac{u - u_0}{x} = \frac{v - v_0}{y}$$

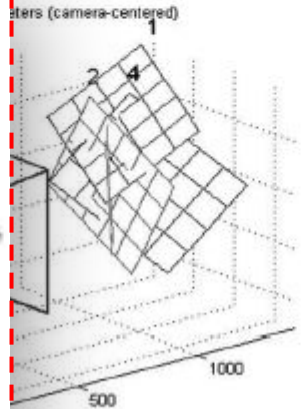
# Estimação da Pose :: Calibração da Câmera



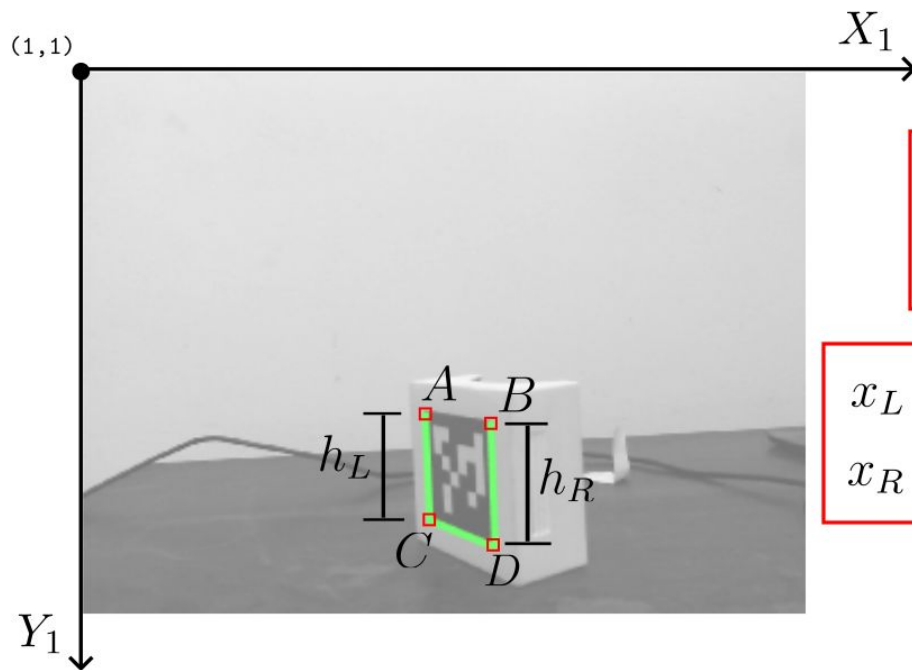
# Estimação da Pose :: Calibração da Câmera



$$\begin{bmatrix} \lambda u \\ \lambda v \\ \lambda \end{bmatrix} = \begin{bmatrix} \alpha_u & 0 & u_0 \\ 0 & \alpha_v & v_0 \\ 0 & 0 & 1 \end{bmatrix} \begin{bmatrix} r_{11} & r_{12} & r_{13} & t_1 \\ r_{21} & r_{22} & r_{23} & t_2 \\ r_{31} & r_{32} & r_{33} & t_3 \end{bmatrix} \begin{bmatrix} x_w \\ y_w \\ z_w \\ 1 \end{bmatrix},$$



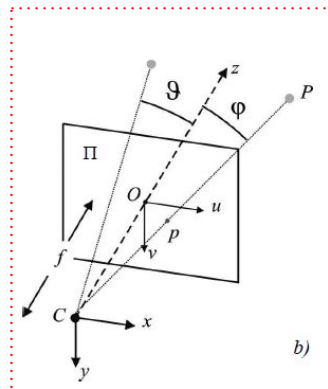
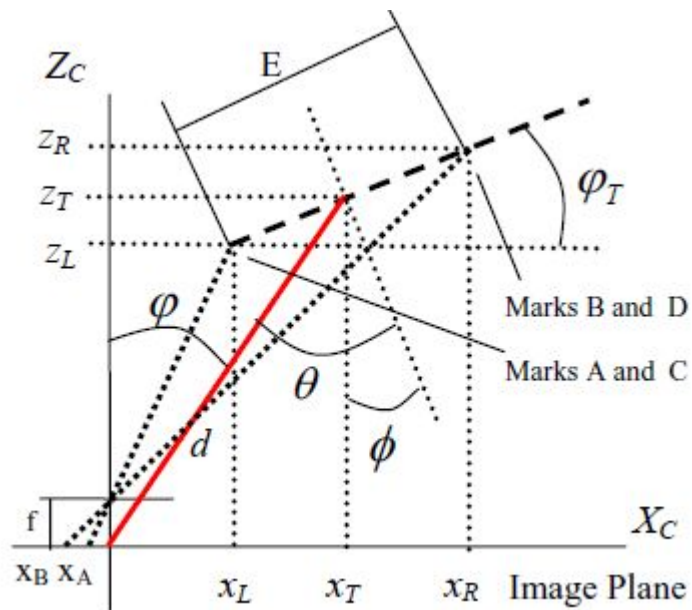
# Estimação da Pose



$$z_L = f \cdot \frac{E}{h_L}$$
$$z_R = f \cdot \frac{E}{h_R}$$

$$x_L = \frac{z_L}{f} \cdot (x_A - u_0)$$
$$x_R = \frac{z_R}{f} \cdot (x_B - u_0)$$

# Estimação da Pose



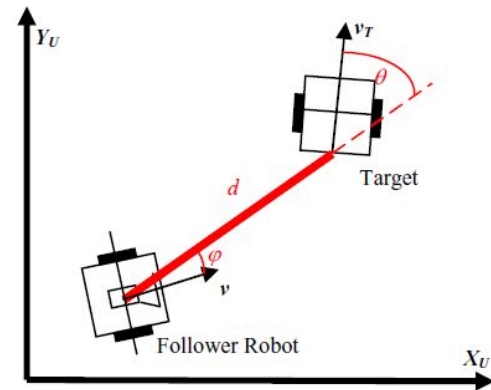
Equações:

$$\phi = \tan^{-1} \left( \frac{z_R - z_L}{x_R - x_L} \right)$$

$$\varphi = \tan^{-1} \left( \frac{x_T}{z_T} \right)$$

$$\theta = \varphi + \phi$$

$$d = \sqrt{x_T^2 + z_T^2}$$



# Conclusões

- A detecção de marcadores encontra grande aplicabilidade em robótica, sendo potencialmente mais robusta que a detecção por cores.
- Implementação em MatLab com processamento em torno de 7 quadros por segundo.
- Uma implementação em C é mais viável, sob o ponto de vista prático.

Obrigado!